

PRESENTACION MURAL

**Estrellas Wolf-Rayet de tipo WN en la Vía Láctea:  
Campaña 2007-2008**

A. Collado<sup>1</sup>, R. Gamen<sup>1</sup>, R. Barbá<sup>1,2</sup>

(1) *Complejo Astronómico El Leoncito, San Juan, Argentina*

(2) *Departamento de Física, Universidad de La Serena, Chile*

**Abstract.** We are carrying out a spectroscopic monitoring of Galactic Wolf-Rayet stars, in order to detect binary systems. The sample consists of approximately 50 stars of the Nitrogen sequence (WN) and fainter than  $V=13$ . The observations are made from the 4-m telescope at CTIO, Chile. In the following, we present the first results of the 2007-2008 campaign.

**Resumen.** Estamos llevando a cabo un monitoreo espectroscópico de estrellas Wolf-Rayet de nuestra galaxia, con el objeto de detectar sistemas binarios. La muestra consiste de unas 50 estrellas de la secuencia del Nitrógeno (WN) y más débiles que  $V=13$ . Las observaciones son realizadas desde el telescopio de 4-m de CTIO, Chile. A continuación, presentamos los primeros resultados de la campaña 2007-2008.

**1. Motivación**

Las estrellas Wolf-Rayet (WR) de Población I, tienen vientos estelares muy intensos, densos, y calientes, que le dan la forma característica a sus espectros, i.e. líneas de emisión intensas y anchas. Según la presencia de distintas líneas en el espectroóptico, se clasifican en WN (Nitrógeno), WC (Carbono), y WO (Oxígeno). Los parámetros intrínsecos de las estrellas WR son muy difíciles de determinar dado que muchas de sus propiedades están enmascaradas por sus poderosos vientos.

Las estrellas WR son consideradas descendientes de las estrellas tipo O, aunque la forma en que se produce esta transición es aún motivo de debate. Hay un subconjunto de las estrellas WN, designadas como WNH, que se las considera estrellas O muy masivas con fuertes vientos estelares en una etapa evolutiva aún temprana, distintas de las WR “clásicas” que queman He en sus núcleos (Conti & Smith, 2008).

La masa estelar es un parámetro astrofísico fundamental cuyo conocimiento, junto al índice de pérdida de masa, la composición química, y la rotación, permite determinar las propiedades y evolución de las estrellas, en especial las más masivas (Meynet & Maeder, 2005). El método más directo para medir masas estelares es a través de la aplicación de la tercera ley de Kepler. Las masas típicas determinadas en estrellas WR tienen valores entre 9–16  $M_{\odot}$  para las WC y 10–83  $M_{\odot}$  para las estrellas WN (cf. Crowther 2007). Las candidatas a ser las estrellas más masivas de la Vía Láctea parecen ser del tipo WNH, e.g. las 2

componentes WN6 de NGC3603-A1, con masas absolutas de 116 y 89  $M_{\odot}$  (Schnurr et al. 2008), y la componente WN6 de WR 21a que resultó tener una masa mínima de 87  $M_{\odot}$  (Niemela et al. 2008). Figer (2005) determina por análisis estadístico que se debería esperar descubrir estrellas con hasta 150  $M_{\odot}$ , pero los objetos descubiertos al momento aún no llegan a ese límite, por lo que se espera poder hallarlos, y confirmar (o no) entonces dicho valor.

La fracción de sistemas binarios detectados entre las estrellas WR de nuestra galaxia es de  $\sim 40\%$  (van der Hucht, 2001), sin embargo hay al menos dos razones para sospechar que éste es un límite inferior. Una razón es dada por Langer & Heger (1999), quienes argumentan que la mayoría de las Supernovas tipo Ib/c ocurren en binarias WR+OB interactuantes, y dada la estadística derivada de las SN observadas se esperaría que existan más estrellas WR en sistemas binarios que simples. Otra razón es aportada por la observación de estrellas del tipo WC. Más del 80% de las estrellas WC9 y WC8 parecen pertenecer a sistemas binarios (cf. Tuthill et al. 1999; Monnier et al. 1999). La pregunta obvia es si esta frecuencia alta de binarias es intrínseca de este sub-tipo o puede ser aplicado a todas las estrellas WR. Esto, entonces, podría implicar que la población de estrellas WR está asociada a binaridad, a través de la transferencia de masa durante una determinada fase de un sistema O+O, y que las estrellas WR son una clave en la evolución de estrellas masivas.

Dadas estas consideraciones, estamos llevando a cabo un monitoreo espectroscópico de estrellas WR de nuestra galaxia, con el objeto de detectar variaciones de velocidad radial que indiquen la presencia de sistemas binarios. La muestra consiste de unas 50 estrellas de la secuencia del Nitrógeno (WN) y más débiles que  $V=13$ . A continuación, presentamos los primeros resultados de la campaña 2007-2008.

## 2. Observaciones

Las observaciones fueron realizadas con el telescopio V. Blanco de 4-m del Observatorio Inter-Americano de Cerro Tololo (CTIO), Chile, durante marzo-abril 2007 y abril 2008. Utilizamos el espectrógrafo R-C con la red KPGL1, configuración que provee un rango espectral de 3650-6700 Å y una dispersión recíproca de  $\sim 1 \text{ Å pix}^{-1}$ .

Durante 11 noches de observación obtuvimos 237 espectros de 44 estrellas WN. Las imágenes fueron procesadas con las tareas del paquete LONGSLIT de IRAF. Las velocidades radiales (VR) de las líneas espectrales fueron determinadas mediante ajustes de funciones gaussianas a los perfiles, con la tarea SPLOT.

## 3. Resultados preliminares: Dos nuevas binarias WN+O

### 3.1. WR 62a

Una de las más conspicuas variables en VR en la muestra observada es WR 62a. Esta estrella fue descubierta y clasificada como WN5 por Shara et al. (1999), y no observaron líneas de absorción, sin embargo en nuestros espectros identificamos líneas en absorción  $H\alpha$ ,  $H\beta$ ,  $H\gamma$ ,  $H\delta$ , He I  $\lambda$  4471, y 5875, y HeII  $\lambda$  4200, 4541, y 5411.

Teniendo en cuenta las variaciones de VR noche a noche, determinamos la periodicidad (mediante un algoritmo similar al descrito por Bertiau & Grobbon, 1969) de la línea de emisión de He II 4686 Å y obtuvimos un valor del orden de 10 días. Un resultado similar se obtuvo a partir de otras líneas de emisión. Utilizando este período pudimos comprobar que las VRs de las líneas de absorción muestran un movimiento en antifase con las líneas de emisión, lo que sugiere que se trata de un sistema binario de tipo WN con una compañera O (siendo el sub-tipo espectral aún no determinado). Las masas mínimas derivadas para las componentes del sistema son  $\sim 40 M_{\odot}$  para la estrella O y  $\sim 15 M_{\odot}$  para la WN.

La figura 1 (izquierda) muestra la variación de las VRs de He II 4686 Å en emisión y el promedio de las absorciones de He I  $\lambda$  4471 y 5875 en función de la fase orbital. Las curvas continuas representan la solución orbital preliminar obtenida.

### 3.2. WR 68a

Otra de las estrellas que presenta grandes variaciones de VR es WR 68a. La cual también fue descubierta y clasificada por Shara et al. (1999). Ellos propusieron un tipo WN7, es decir que tampoco notaron absorciones en este espectro. En nuestros espectros, identificamos las líneas de absorción de H $\delta$ , H $\gamma$  y H $\beta$ , He I  $\lambda$  4471 y 5875, y He II 4541, las que una vez determinado el período, identificamos como pertenecientes a la compañera, indicando un tipo espectral O.

La variación de las VRs de las líneas en el espectro de WR 68a confirman que se trata de un sistema binario de corto período (P del orden de 5 días) en una órbita con excentricidad no despreciable. Utilizamos el mismo algoritmo para determinar la solución orbital considerando las líneas de He II  $\lambda$  4686 en emisión y el promedio de H $\beta$  y H $\gamma$  en absorción como representando el movimiento de las estrellas WN y O. Para este sistema, obtuvimos masas mínimas de  $\sim 38 M_{\odot}$  para la componente O y  $\sim 17 M_{\odot}$  para la WN.

En la figura 1 (derecha) ilustramos las variaciones de VR de las líneas utilizadas y, en línea continua, la órbita obtenida. En dicha figura, se nota un desfase en las VRs de la emisión de He II y las absorciones de H. Este desfase no se aprecia si consideramos la emisión de N IV, lo que sugiere una distorsión de los perfiles de las líneas de He II provocados por la región de interacción de vientos. Este fenómeno es observado en otros sistemas WN+O de corto período, e.g. WR 21 y WR 31 (Gamen 2004).

## 4. Conclusiones

Descubrimos 2 nuevos sistemas binarios WN+O de corto período, WR 62a y WR 68a. En ambos sistemas pudimos identificar líneas de absorción pertenecientes a una compañera de tipo espectral O, lo que nos permitió estimar masas mínimas preliminares de  $40+15 M_{\odot}$ , para las componentes O y WN respectivamente en WR 62a y  $38+17 M_{\odot}$  en WR 68a. Dadas las masas mínimas obtenidas y el corto período de ambos sistemas, podrían esperarse variaciones fotométricas debidas a eclipses. Son necesarias más observaciones espectroscópicas para obtener un período más preciso en ambos sistemas.

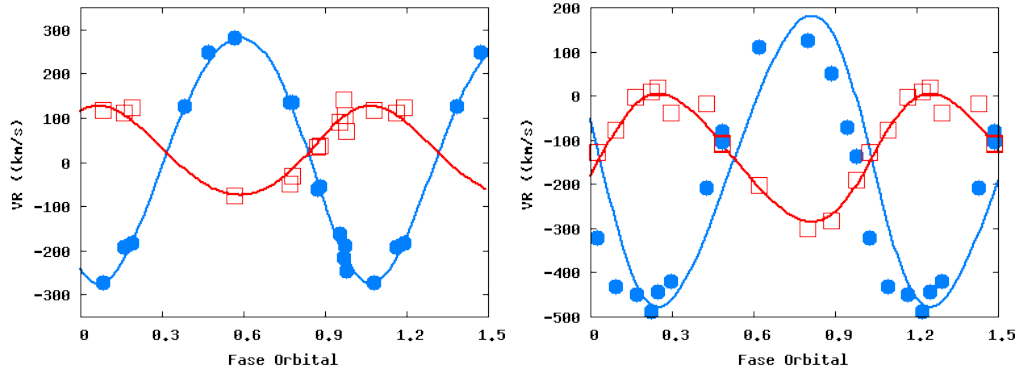


Figura 1. *Izquierda:* Variación de las velocidades radiales de la línea de emisión de He II (círculos) y el promedio de las absorciones (cuadrados) como representando el movimiento orbital de las componentes WN y O respectivamente en el sistema binario WR 62a.

*Derecha:* Idem, para WR 68a. Notar el desfase que parece existir en las VRs de la emisión de He II.

**Agradecimientos.** Agradecemos al director y staff de CTIO, Chile, por facilitarnos el uso de sus instalaciones y su hospitalidad. RG agradece financiación de FUPACA. IRAF is distributed by the National Optical Astronomy Observatories, which are operated by the Association of Universities for Research in Astronomy, Inc., under cooperative agreement with the National Science Foundation.

## Referencias

- Bertiau F., Grobben J., 1969, Ric. Spec. Vaticana, 8, 1  
 Conti P., Smith, N., 2008, ApJ, 679, 1467  
 Crowther, P. A. 2007, ARA&A, 45, 177  
 Figer, D. F. 2005, Nature, 434, 192  
 Gamen, R. 2004, Tesis doctoral, Univ. Nacional de La Plata  
 van der Hucht, K. A. 2001, New Astronomy Reviews, 45, 135  
 Langer, N. & Heger, A. 1999, in IAU Symposium, Vol. 193, 187  
 Meynet, G. & Maeder, A. 2005, A&A, 429, 581  
 Monnier, J. D., et al. 1999, ApJL, 525, L97  
 Niemela, V., et al. 2008, MNRAS, 389, 1447  
 Schnurr, O., et al. 2008, MNRAS, 389, 806  
 Shara, M., et al., 1999, ApJ, 118, 390  
 Tuthill, P. G., et al. 1999, Nature, 398, 487